

Metodología de aprendizaje automático cuántico para la predicción de la actividad inhibitoria de fármacos contra el COVID-19

Quantum machine learning methodology for predicting the inhibitory activity of drugs against COVID-19

Raúl Isea

Fundación Instituto de Estudios Avanzados ORCID: https://orcid.org/0000-0002-6318-3428 raul.isea@gmail.com Miranda-Venezuela

Resumen

El presente estudio examinó la posibilidad de aplicar un algoritmo cuántico de aprendizaje automático para predecir la actividad inhibitoria de potenciales fármacos contra el coronavirus SARS-CoV-2. Para lograr ello, se empleó un conjunto de datos experimentales conformado por 1904 de compuestos que habían sido previamente identificados. Luego, se determinaron cuatro descripciones moleculares basándose en la estructura de cada compuesto, que funcionaron como dato de entrada para el algoritmo de aprendizaje cuántico; mientras que la actividad inhibitoria experimental se empleó como etiqueta para clasificar los compuestos como "activos" o "inactivos". Con esta información, se elaboró el algoritmo de entrenamiento cuántico utilizando cuatro qubits en el circuito cuántico. El resultado conseguido tuvo una precisión del 95 %, por lo que estos resultados iniciales resaltan la vialidad de emplear cálculos cuánticos para identificar potenciales moléculas que podrían ser candidatas en la lucha contra el COVID-19.

Abstract

The study investigated the potential use of a quantum machine learning algorithm to forecast molecules ability to inhibit the SARS-CoV-2 coronavirus. An experimental dataset comprising 1904 previously identified compounds was utilized in order to accomplish this. The structure of each compound was then used to determine four molecular descriptions, which were then used as input data for the quantum learning algorithm. The experimental inhibitory activity was then used as a label to categorize the compounds as either "Active" or "Inactive." Using this knowledge, a four qubit quantum training algorithm was created. These preliminary results demonstrate the potential of using quantum computations to find possible molecules that could be candidates in the fight against the coronavirus, as the obtained result had a 95 % accuracy rate.

Palabras clave:

tación cuántica; aprendizaje automático

Keywords:

Coronavirus; SARS-CoV-2; COVID-19; actividad antiviral; compu- Coronavirus; SARS-CoV-2; COVID-19; inhibitory activity; quantum computing; quantum machine learning

Depósito legal: PP201402DC4456

ISSN: 2343-6212



Introducción

cos que nos ayuden a luchar contra una enfermedad específica y, por consiguiente, evidenció la necesidad de crear nuevos enfoques innovadores para abordar amenazas futuras a la salud pública.

vencional de nuevos medicamentos, fundamentado en el dizaje automático cuántico (Quantum Machine Learning, desarrollo y evaluación experimental con ayuda de amplias bibliotecas de compuestos es complicado, costoso y demanda una inversión significativa de tiempo y recursos (Sertkaya et al., 2024).

De manera que hoy en día, las técnicas de computazar el hallazgo de terapias potenciales. Técnicas establecidas como el cribado virtual (Lavecchia y Giovanni, 2013), el docking molecular (Lee et al., 2016), la dinámica molecular (Abdolmaleki et al., 2017), la genómica inversa (Isea et al., 2016) y los modelos cuantitativos de relación estructura-actividad (QSAR) fundamentados en el aprendizaje automático tradicional, los cuales están ganando cada vez más relevancia en la creación de nuevos compuestos (Razia et al., 2023).

De esta forma, la computación cuántica es un paradigma de computación que emplea los principios de la mecánica cuántica. La distinción principal se encuentra en el manejo de la información. En otras palabras, los bits clásicos solo pueden asumir los estados 0 o 1; en cambio, los qubits (bits cuánticos) pueden aparecer en una combinación lineal de ambos estados (superposición) y vincularse de forma compleja e instantánea a través del entrelazamiento cuántico (McCaskey et al., 2018).

Estas características permitirán a las computadoras cuánticas explorar y manejar grandes volúmenes de datos al mismo tiempo y ejecutar operaciones conjuntas en varios qubits de forma inimaginable para la computación

La pandemia del COVID-19 reveló las restricciones en tradicional. En algunas clases de problemas, esto podría los métodos actuales para la creación de posibles fárma- resultar en una habilidad de cálculo paralela que simplificaría -por ejemplo- la detección de patrones complicados (Das et al., 2023) o la solución de problemas insolubles para los algoritmos tradicionales (Gamble, 2019).

En vista de los avances en el aprendizaje automático, la Es importante tener en cuenta que el desarrollo con- computación cuántica ha dado lugar al campo del apren-QML) (Raubitzek y Mallinger, 2023). El objetivo es desarrollar algoritmos que exploten las propiedades cuánticas para mejorar las tareas de ML, como la clasificación y el agrupamiento de datos (clustering).

Estudios recientes han investigado algoritmos cuánción han surgido como instrumentos esenciales para agili-ticos como las quantum support vector machines¹ (QSVM) (Ding et al., 2022), así como Quantum K-Means (QKM) (Kavitha y Kaulgud, 2022), han evidenciando su potencial para aumentar la precisión y la eficiencia computacional en conjuntos de datos complejos con alta dimensionalidad en diversos dominios, incluyendo la alimentación, las finanzas (Alzoubi et al., 2023), la salud y la ciberseguridad (SaberiKamarposhti et al., 2024).

> Las aplicaciones que utilizan QML van desde la identificación de fraudes (Marazgah et al., 2023) y la mejora en la interacción con los usuarios (chatbots), hasta la optimización de carteras de inversión y el servicio personalizado (Durant et al., 2024).

> Por esa razón, el objetivo de este primer estudio es aplicar una metodología basada en la computación cuántica empleando aprendizaje automático para predecir la actividad anticoronavirus de biomoléculas que nos ayuden a combatir esta enfermedad. Para ello, se utilizaron como datos de entrada cuatro descriptores moleculares derivados de las propiedades estructurales de los compuestos, y la actividad inhibitoria experimental se empleó para su clasificación (detalles en el próximo apartado).

¹Máquinas de soporte vectorial cuánticas

Asimismo, es importante tener en cuenta que los las propiedades fisicoquímicas de las moléculas, cuyo estudio facilita la predicción de la actividad biológica (Aires-de-Sousa, 2024). Se considera, en este estudio inicial los detalles moleculares, como el peso molecular (como MolWt), el coeficiente de partición octanol-agua (LogP), la cantidad de aceptadores de puentes de hidrógeno (HBA) y la superficie topográfica polar (TPSA). Aunque existen otros descriptores significativos, dicha investigación de inicio se enfocó en estos cuatro, dejando el camino para que trabajos futuros, los cuales investigarán y clarificarán el conjunto ideal para esta labor.

En la siguiente sección, se explicará la metodología empleada, incluyendo una descripción y explicación del circuito cuántico utilizado en este estudio.

Materiales y métodos

Este estudio tuvo como objetivo desarrollar y poner en práctica una metodología basada en el aprendizaje cuántico automático para categorizar las moléculas como "activas" o "inactivas" en respuesta al coronavirus.

Se logró mediante el diseño de algoritmos en Python, utilizando tanto las librerías qiskit-machine-learning (Raubitzet y Mallinger, 2023) como `rdkit´ (Dolciami et al., 2022) para la generación de circuitos cuánticos como para la administración de datos moleculares, respectivamente.

La información se obtuvo de la investigación llevada a cabo por Isea (2025), que incluye 1904 compuestos que han sido estudiados de manera experimental contra el coronavirus. Estas moléculas fueron escogidas después de un exhaustivo proceso de depuración manual para garantizar la singularidad y representatividad de las estructuras moleculares empleadas en investigaciones experimentales que han sido difundidas en la bibliografía científica. Este procedimiento conllevó la supresión de compuestos duplicados, estructuras dudosas y variaciones con distintos estados de carga, cuyo reconocimiento se corroboró a través del estándar `InChl´ (Heller et al., 2013).

La clasificación experimental de las moléculas en "acdescriptores moleculares representan numéricamente tivas" o "inactivas" se basó en sus valores de `IC50´ (concentración inhibitoria media), un parámetro estándar para cuantificar la actividad inhibitoria en el descubrimiento de fármacos (Jha et al., 2021). Para esta categorización se aplicaron los siguientes umbrales de pIC50 [1]-log10(IC50), convencionales en el campo (Jha et al., 2021):

- Un compuesto se considera activo sípIC50 > 6
- Un compuesto se considera inactivo sí pIC50 < 5

La identificación de las moléculas como "activas" o "inactivas" se obtuvo de acuerdo a sus valores de IC50 (concentración inhibitoria media), un indicador común para medir la actividad inhibitoria en el hallazgo de medicamentos (Jha et al., 2021). Se utilizaron los siguientes límites de `plC50´, que son habituales en el campo (Jha et al., 2021).

Se descartaron aquellas moléculas con valores de `pIC50´ entre 5 y 6 cuya actividad sería considerada como intermedia, para asegurar una diferencia entre las clases antes indicadas.

Luego, se determinaron los descriptores moleculares de cada compuesto empleando la librería rdkit. Los descriptores seleccionados en este estudio fueron `LogP´ (coeficiente de partición octanol-agua), el Peso Molecular (MolWt), la superficie topográfica polar polar (TPSA) y la cantidad de aceptadores de enlaces de hidrógeno (HBA). Se debe indicar que esta elección fue a elección del autor, siendo imprescindible llevar a cabo una búsqueda sistemática de todos los tipos en futuras investigaciones.

Basado en estos descriptores moleculares fue posible el entrenamiento del modelo, con la finalidad de predecir si una molécula se encontraba "activa" o "inactiva" frente al coronavirus. Por esa razón, se utilizó un sistema de cuatro cúbits, otorgando un qubit a cada descriptor antes indicado (ie., LogP, MolWt, HBD y TPSA).

Para la implementación del código cuántico se representaron los descriptores moleculares como simple vectores, es decir, x=(LogP,MolWt,HBD,TPSA), y para los estados cuánticos se realizó mediante un mapa de características cuántico empleando ZZFeatureMap (Jhon et al., 2023). Re-

Depósito legal: PP201402DC4456 ISSN: 2343-6212

cuérdese que el ZZFeatureMap es fundamental en algorital., 2023). Los datos de entrada clásicos se transforman en estados cuántico dentro del espacio de Hilbert, facilitando el cálculo de la matriz del núcleo cuántico $Kij = \langle \phi(x_i) \lor \phi(x_j) \rangle \lor_i^2$ que cuantifica la similitud cuántica entre pares de vectores de entrada (Jhon et al., 2023).

ZZFeatureMap brindó la formación de entrelazamientos facilitando la detección de correlaciones complejas. No obstante, un obstáculo es la potencial presencia de barren plateaus durante la optimización en circuitos profundos, y su reacción ante la correcta elección de parámetros y la adecuada selección de parámetros en el circuito (McClean et al., 2018).

El circuito está compuesto por puertas de rotación de acuerdo al estado cuántico preparado por el mapa de características. El ansatz se desempeña como un componente interactivo del modelo, con la finalidad de clasificar los estados cuánticos (Thanasilp et al., 2024).

El mayor beneficio de utilizar un ansatz radica en su versatilidad y capacidad de adaptación a hardware cuántico ruidoso de escala intermedia (Moradi et al., 2022), además de la oportunidad de perfeccionar sus parámetros para una tarea concreta (Chen et al., 2023). No obstante, la optimización de una extensa gama de parámetros puede ser difícil (problema de optimización no convexo), requiriendo una inicialización adecuada y siendo susceptible a mínimos locales (Chen et al., 2023).

Al concluir el circuito cuántico, se emplearon puertas de medición para obtener resultados tradicionales fundamentados en los estados cuánticos.

Dicha implementación es gracias al backend qasm_simulator que forma parte de la librería Qiskit (John et al., 2023), que replica el funcionamiento de un procesador cuántico auténtico, facilitando la simulación de ruido y la realización de mediciones, un elemento esencial para establecer las probabilidades de conseguir distintos resultados al medir los qubits.

Adicionalmente, la puesta en marcha del qasm_simumos de aprendizaje cuántico basados en núcleos (Jhon et lator es esencial para el desarrollo y validación del algoritmo del circuito cuántico, además de para analizar los resultados alcanzados en un entorno controlado, previo a su implementación en hardware cuántico real.

> Es fundamental enfatizar que el motivo de emplear un núcleo cuántico radica en su capacidad teórica para determinar medidas de similitud entre datos que podrían ser computacionalmente inviables para algoritmos tradicionales, empleando la alta dimensionalidad del espacio de Hilbert (Jerbi et al., 2023).

> Solo queda dividir de forma aleatoria los datos en dos subgrupos: un 80 % asignado al entrenamiento del modelo y el 20 % restante para su validación. Se valoró la eficacia predictiva del modelo mediante la establecimiento de calificaciones basadas en porcentaje de aciertos en relación al subconjunto de validación.

Resultados

El conjunto de datos empleado en este estudio comprendió 1904 compuestos que fueron derivados de investigaciones experimentales cuya evaluación de la actividad inhibitoria (valores de IC50) fue estudiada por Isea (2015). Cada entrada en el conjunto de datos incluyó la fórmula química del compuesto (representada mediante su notación SMILES canónica) y el valor experimental de su concentración inhibitoria media (IC50).

Se determinó el valor de `pIC50´ a partir de los datos de 'IC50', lo que permitió clasificar los compuestos como "activos" o "inactivos", conforme a los criterios definidos en la sección anterior. La categorización final consistió en 943 sustancias categorizadas como "activas" y 961 como "inactivas", manteniendo un equilibrio justo entre ambas categorías.

Inmediatamente después, se establecieron los descriptores moleculares empleando la librería adecuada en Python, fundamentándose en la representación lineal de la fórmula química de cada molécula. La Tabla N° 1 (como

ejemplo) presenta ocho moléculas escogidas de manera aleatoria del conjunto completo de datos.

Las columnas 'formula' e 'IC50' muestran la fórmula estructural y la actividad inhibitoria experimental, respectivamente. Las columnas restantes detallan los valores calculados de los descriptores MolWt, LogP, HBD y TPSA, junto con la clasificación final de la molécula como "activa" o "inactiva" (en el apartado anterior están los detalles de los mismos).

Además, con el fin de apreciar la variedad estructural del conjunto de datos utilizado en el modelo de aprendizaje cuántico, la Figura N° 1 muestra un esquema tridimensional que muestra la disposición de los descriptores molecu-

lares MolWt, LogP y TPSA, distinguiendo entre compuestos "activos" (color azul) e "inactivos" (color naranja).

Para el modelo de aprendizaje cuántico fue necesario dividir al azar el conjunto de datos en dos subconjuntos diferentes: un 80 % (es decir, 1523 compuestos) fue asignado al conjunto de entrenamiento, mientras que el 20 % restante (es decir, 381 compuestos) formó parte del conjunto de datos para la validación (se debe tener en cuenta que el conjunto de datos para el entrenamiento se empleó para determinar la matriz del núcleo cuántico, mientras que los de validación se utilizó para valorar el desempeño predictivo del modelo).

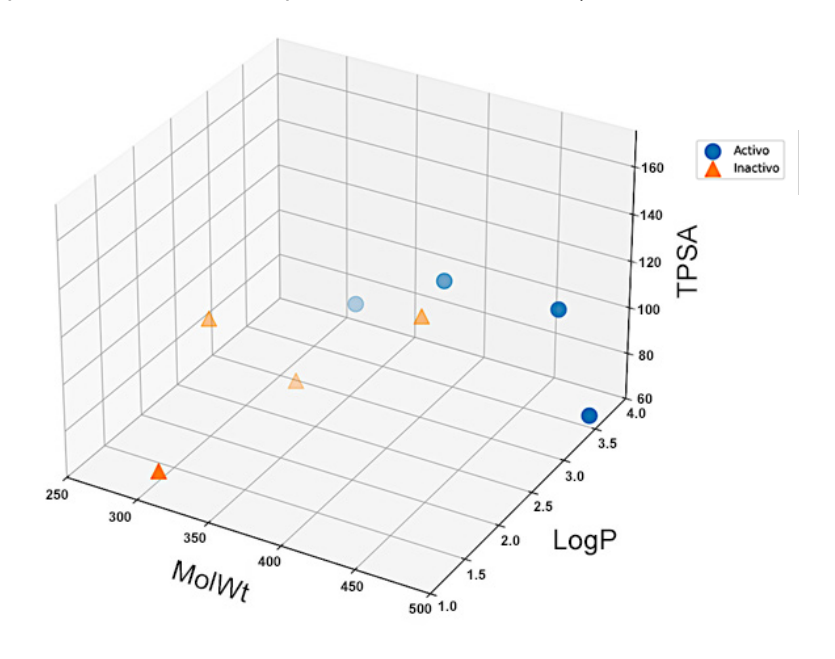
Tabla Nº 1. Una muestra aleatoria formada por 8 compuestos del conjunto de datos empleados en el trabajo

ID	Fórmula	IC50	plC50	MolWt	LogP	TPSA	HBD	Actividad
1240	CC(C)(C)NC(=O)C(=O)[C@H](C[C@@H]1CCNC1=	104.0	6.98	599.65	0.96	153.78	4	activo
957	CC(C)C[C@H](NC(=O)OCc1cccc(C(F)(F)F)c1)	16.0	7.80	553.56	1.56	171.13	4	activo
1150	O=c1c2c(O)c(O)c(O)cc2nc(-c2cccc2)n1c1cccc	83.0	7.08	346.34	3.17	95.58	3	activo
1291	CC(C)[C@@H](Nc1ncnc2[nH]c(3cnn(CC(N)=O	242.0	6.62	448.49	2.28	145.86	3	activo
1824	CC(C)[C@@H](NC(=0)c1ccccn1)c1ccc2c(c1)OC	99500.0	4.00	312.37	2.98	60.45	1	inactivo
213	O=c1cc(c2ccc(O)cc2)oc2cc(O)cc(O)c12	280800.0	3.55	270.24	2.56	90.9	3	inactivo
1714	O=C(O)C[C@@H](NC(=O)c1cncc2[nH]ccc12)	35815.0	4.45	388.22	3.27	95.08	3	inactivo
774	CC1(C)[C@H](C(=O)OCc2ccccc2)N2C(=O)C[50000.0	4.30	323.37	0.86	80.75	0	inactivo

Fuente: Elaboración propia (2025).

ISSN: 2343-6212

Figura N° 1. Distribución tridimensional de los descriptores moleculares de los compuestos seleccionados al azar indicados en la Tabla N° 1, tal que los compuestos "activos" están representados en color azul, y los "inactivos" en naranja



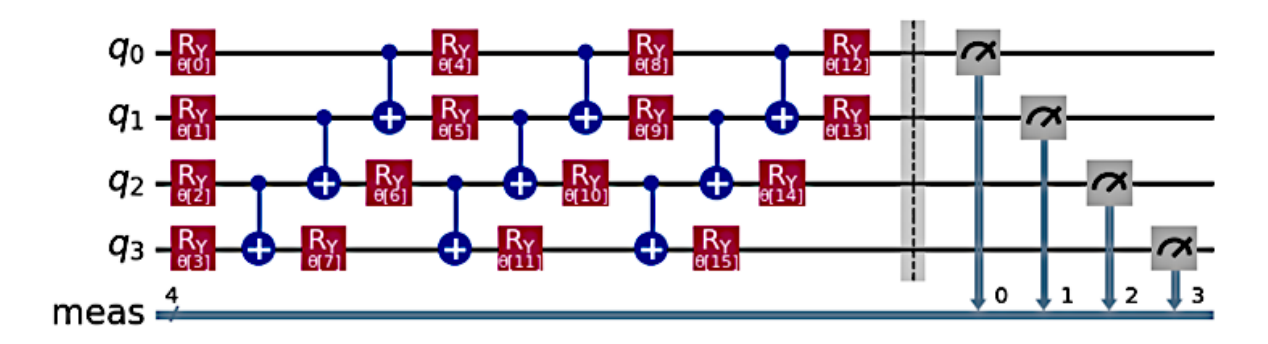
Fuente: Elaboración propia (2025).

tra en la Figura N° 2. En este circuito, los qubits q₀, q₁, q₂ y q₃ (TPSA) y número de aceptores de puentes de hidrógeno representan los datos derivados de las variables clásicas, es (HBA), respectivamente. La actividad inhibitoria se introdecir, el coeficiente de partición octanol-agua (LogP), peso duce como un dato experimental.

El circuito cuántico utilizado en este estudio se mues- molecular (MolWt), área de superficie polar topológica

Figura N° 2. Circuito cuántico empleado para el cálculo de la actividad inhibitoria (ver texto para detalles)

(Gráfico generado con la librería Matplotlib en Python, Hunter 2017)



Fuente: Elaboración propia (2025).

Depósito legal: PP201402DC4456 ISSN: 2343-6212



Los rectángulos mostrados en la Figura Nº 2 representan puertas lógicas cuánticas, que son operaciones unitarias que modifican el estado de uno o más gubits. Las puertas utilizadas en este circuito se describen brevemente a continuación:

- Puertas Ry (Ry(θ)[2]: rotaciones del qubit alrededor del eje Y de la esfera de Bloch, con un ángulo θ (rectángulo de color rojo en la Figura Nº 2). El circuito incluye varias de estas puertas aplicadas a qubits individuales. Son puertas de un solo qubit.
- Puertas CNOT (Controlled-NOT): operan sobre dos qubits: un qubit de control (representado por un punto relleno) y un *qubit* objetivo (representado por un círculo con una cruz). La puerta CNOT invierte el estado del qubit objetivo solo si el *qubit* de control está en el estado |1). Si el *qubit* de control está en el estado 0), el estado del cúbit objetivo no se modifica. Son puertas de dos qubits y son esenciales /QSAR, Molecular Docking and Pharmacophore Methods. para generar entrelazamiento cuántico. El circuito incluye varias puertas CNOT que conectan pares de gubits (en color azúl).
- Medición: los símbolos con forma de medidor al final de cada línea representan el proceso de medición (en color gris claro). Al medir un qubit, su estado cuántico colapsa a uno de los estados base (0 o 1), y el resultado de la medición es un bit clásico. En este circuito, los cuatro qubits se miden, y los resultados se almacenan en registros clásicos (indicados como 0, 1, 2 y 3).

Finalmente, se logró un porcentaje de predicción del 95 % tras la implementación (0.95). Además, no se consideró el tiempo de cálculo debido a que se está simulando un circuito cuántico y, en consecuencia, los tiempos necesarios para tal computación son considerablemente más largos que los que emplea una computadora cuántica.

Conclusión

El trabajo nos muestra que es factible utilizar un algoritmo cuántico supervisado para predecir la actividad inhibitoria frente al coronavirus. De hecho, de los resultados obtenidos tras entrenar el circuito cuántico con cuatro qubits (obtenidos a partir de los descriptores moleculares),

revelan una capacidad predictiva positiva, alcanzando una precisión del 95 % en la clasificación de las moléculas como "activas" o "inactivas". Este análisis inicial señala la habilidad de la computación cuántica para el estudio virtual de fármacos y la identificación de posibles alternativas de tratamiento.

Por último, es crucial destacar que en esta primera aproximación es necesario profundizar en la identificación de los descriptores moleculares más pertinentes para la predicción de la actividad inhibitoria frente al coronavirus. La selección óptima de estas variables de entrada podría mejorar aún más la robustez y la generalización del modelo.

Referencias

Abdolmaleki, A.; Ghasemi JB. y Ghasemi, F. (2017) Computer Aided Drug Design for Multi-Target Drug Design: SAR Curr Drug Targets. 18(5). pp. 556-575. DOI: 10.2174/138945 0117666160101120822.

Aires-de-Sousa, J. (2024). GUIDEMOL: A Python graphical user interface for molecular descriptors based on RDKit. Mol Inform. 43(1):e202300190. DOI: 10.1002/minf.202300190.

Alzoubi, YI.; Gill, A. y Mishra, A. (2022). A systematic review of the purposes of Blockchain and fog computing integration: classification and open issues. J Cloud Comput (Heidelb).11(1). p. 80. DOI: 10.1186/s13677-022-00353-y.

Chen, S.; Cotler, J.; Huang, HY. y Li, J. (2023). The complexity of NISQ. Nat Commun. 14(1):6001. DOI: 10.1038/s41467-023-41217-6.

Das, S.; Zhang, J.; Martina, S. et al., (2023). Quantum pattern recognition on real quantum processing units. Quantum Mach. Intell. 5, 16 (2023). https://doi.org/10.1007/s42484-022-00093-x.

Ding, C.; Bao, TY. y Huang, HL. (2022). Quantum-Inspired Support Vector Machine. IEEE Trans Neural Netw Learn Syst. 33(12). pp. 7210-7222. DOI: 10.1109/TNNLS.2021.3084467.

Dolciami, D,.; Villasclaras-Fernandez E.;; Kannas, C.; Meniconi, M., Al-Lazikani, B. y Antolin, AA. (2022). canSAR chem-

Depósito legal: PP201402DC4456 ISSN: 2343-6212

istry registration and standardization pipeline. J Cheminform 14(1). p. 28. DOI: 10.1186/s13321-022-00606-7.

Durant, T.; Knight, E.; Nelson, B.; Dudgeon, S.; Lee, S.; Walliman, D.; Young, H.; Ohno-Machado, L. y Schulz, W. (2024). A primer for quantum computing and its applications to healthcare and biomedical research. J Am Med Inform Assoc31(8). pp. 1774-1784. DOI: 10.1093/jamia/ocae149.

Gamble, S. (2019). Quantum Computing: What It Is, Why We Want It, and How We're Trying to Get It. In: National Academy of Engineering. Frontiers of Engineering: Reports on Leading-Edge Engineering from the 2018 Symposium. Washington (DC): National Academies Press (US). Disponible en: https://www.ncbi.nlm.nih.gov/books/NBK538701/.

Heller, S.; McNaught, A.; Stein, S.; Tchekhovskoi, D. y Pletnev, I. (2013) InChI - the worldwide chemical structure identifier standard. J Cheminform. 24;5(1). p. 7. DOI: 10.1186/1758-2946-5-7.

Computing in Science & Engineering, 9(3), pp. 90-95.

Isea, R.; Mayo, R. y Restrepo, S. (2016) Reverse Vaccinology in Plasmodium falciparum 3D7. J Immunol Tech Infect Dis 5:3. DOI:10.4172/2329-9541.1000145.

Isea, R. (2025). Algoritmo K-NN para la identificación de posibles fármacos contra la COVID-19.

Jerbi, S.; Fiderer, L.; Poulsen, H.; Kübler, J.; Briegel, H. y Dunjko, V. (2023). Quantum machine learning beyond kernel methods. Nat Commun. 14(1). pp. 517. DOI: 10.1038/ s41467-023-36159-y.

John, M.; Schuhmacher, J.; Barkoutsos, P.; Tavernelli, I. y Tacchino, F. (2023) Optimizing Quantum Classification Algorithms on Classical Benchmark Datasets. Entropy (Basel). 25(6). p. 860. DOI: 10.3390/e25060860.

Kavitha, S. y Kaulgud, N. (2022). Quantum K-means clustering method for detecting heart disease using quantum circuit approach. Soft comput. No. 31. pp. 1-14. DOI: 10.1007/ s00500-022-07200-x.

Lau, B.; Emani, P.; Chapman, J.; Yao, L.; Lam, T.; Merrill, P.; Warrell, J.; Gerstein, M. y Lam, H. (2023). Insights from incorporating quantum computing into drug design workflows. Bioinformatics. 39(1):btac789. DOI: 10.1093/bioinformatics/btac789.

Lavecchia, A. y Di Giovanni, C. (2013). Virtual screening strategies in drug discovery: a critical review. Curr Med Chem. 20(23). pp. 2839-60. DOI:10.2174/09298673113209990001.

Lee, A.,; Lee, K. y Kim, D. (2016). Using reverse docking for target identification and its applications for drug discovery. Expert Opin Drug Discov. 11(7):707-15. doi: 10.1080/17460441.2016.1190706.

McClean, J.; Boixo, S.; Smelyanskiy, V.; Babbush, R. y Neven, H. (2018). Barren plateaus in quantum neural network training landscapes. Nat Commun. 9(1):4812. DOI:10.1038/ s41467-018-07090-4.

Marazqah, E.; Zhou, X.; Gururajan, R.; Chan, K.; Genrich, R. y Hunter, J. (2007). Matplotlib: A 2D Graphics Environment. Sankaran, P. (2023). A systematic review of literature on credit card cyber fraud detection using machine and deep learning. PeerJ Comput Sci.9:e1278. DOI: 10.7717/peerj-cs.1278.

> McCaskey, A.; Dumitrescu, E.; Chen, M.; Lyakh, D. y Humble, T. (2018). Validating quantum-classical programming models with tensor network simulations. PLoS One. Dec 10;13(12):e0206704. DOI: 10.1371/journal.pone.0206704.

> Moradi, S.; Brandner, C.; Spielvogel, C.; Krajnc, D.; Hillmich, S.; Wille, R.; Drexler, W. y Papp, L. (2022). Clinical data classification with noisy intermediate scale quantum computers. Sci Rep. 12(1):1851. DOI: 10.1038/s41598-022-05971-9.

> Raubitzek S, Mallinger K. (2023). On the Applicability of Quantum Machine Learning. Entropy (Basel). 25(7):992. doi: 10.3390/e25070992.

> Razia, I.; Kanwal, A.; Riaz, H.; Malik, A.; Ahsan, M.; Khan, M. ; Raza, A.; Sabir, S.; Sajid, Z.; Khan, M.; Tahir, R. y Sehgal, S. (2023). Recent Trends in Computer-aided Drug Design for Anti-cancer Drug Discovery. Curr Top Med Chem. 23(30). pp. 2844-2862. DOI: 10.2174/011568026625846723110710264 3.



SaberiKamarposhti, M.; Chua, F.; Abdullah, J.; Yadollahi, M.; Moradi, M.; Ahmadpour, S. (2024). *Post-quantum healthcare: A roadmap for cybersecurity resilience in medical data*. Heliyon. 10(10):e31406. DOI: 10.1016/j.heliyon.2024. e31406.

Sertkaya, A.; Beleche, T.; Jessup, A. y Sommers, B. (2024). *Costs of Drug Development and Research and Development Intensity in the US*, 2000-2018. JAMA Netw Open. 7(6):e2415445. DOI: 10.1001/jamanetworkopen.2024.15445.

Singh, D.; Mahadik, A.; Surana, S. y Arora, P. (2022). *Proteo-chemometric Method for pIC50 Prediction of Flaviviridae*. Biomed Res Int. 2022:7901791. DOI:10.1155/2022/7901791.

Thanasilp, S.; Wang, S.; Cerezo, M. y Holmes, Z. (2024). *Exponential concentration in quantum kernel methods*. Nat Commun. 15(1). p. 5200. DOI: 10.1038/s41467-024-49287-w.

Woodman, R. y Mangoni, A. (2023). A comprehensive review of machine learning algorithms and their application in geriatric medicine: present and future. Aging Clin Exp Res. 35(11). pp. 2363-2397. DOI: 10.1007/s40520-023-02552-2.